



БИООРГАНИЧЕСКАЯ ХИМИЯ

том 4 * № 7 * 1978

УДК 547.963.32 + 547.416

ПОЛУЧЕНИЕ 4-(N-2-ХЛОРЭТИЛ-N-МЕТИЛАМИНО) БЕНЗИЛ-5'-ФОСФАМИДОВ РИБООЛИГОАДЕНИЛАТОВ И ИХ ВЗАИМОДЕЙСТВИЕ С рРНК И ДНК *E. COLI*

*Гимаутдинова О. И., Гринева Н. И., Карпова Г. Г.,
Ломакина Т. С., Шелпакова Е. Л.*

*Новосибирский институт органической химии Сибирского отделения
Академии наук СССР*

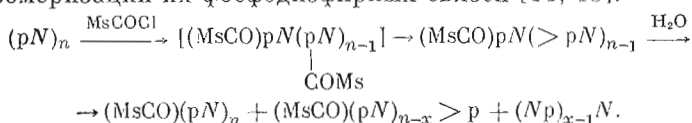
Разбавленные растворы продуктов ацилирования олигорибонуклеотидов мезитиленкарбонилхлоридом при обработке водным бикарбонатом триэтиламмония образуют с выходом 60—80% 5'-мезитиленкарбонилфосфаты. В найденных условиях олигорибонуклеотиды деградируют незначительно, и степень изомеризации фосфодиэфирных связей не превышает 17%. При фосфорилировании получеными 5'-мезитиленкарбонилфосфатами олигорибонуклеотидов 4-(N-2-хлорэтил-N-метиламино)бензиламина с количественным выходом синтезированы их 4-(N-2-хлорэтил-N-метиламино)бензил-5'-фосфамиды. 5'-Фосфамиды гекса- и гептарибоаденилатов с рРНК и ДНК *E. coli* образуют комплексы, в которых эффективно алкилируют нуклеиновые кислоты. Определена константа скорости реакции (MsCO)pA с $\text{CIRCH}_2\text{NH}_2$ в диметилформамиде при 50°.

С целью получения фрагментов ДНК, содержащих олиготимидиловые последовательности на 3'-конце, методом комплементарно адресованной фрагментации ДНК [1] мы в данной работе исследовали образование необходимых для этого алкилирующих производных олигорибоаденилатов, 4-(N-2-хлорэтил-N-метиламино)бензил-5'-фосфамидов ($\text{CIRCH}_2\text{NH}(\text{pA})_{5-7}$, с помощью 5'-мезитиленкарбонилфосфатов (MsCO)(pA)₅₋₇ и Р¹-дифенилР²-олигорибонуклеотид-5'-пирофосфатов ($\text{PhO}_2\text{p}(\text{pA})_7$, а также взаимодействие этих фосфамидов с рРНК и ДНК.

Ранее было исследовано алкилирование РНК [2,3] и ДНК [4] производными олигонуклеотидов, содержащими алкилирующую группировку на 3'-конце фрагмента, и показана принципиальная возможность образования комплексов с рРНК и высокоэффективного алкилирования этих комплексов реагентами, имеющими алкилирующую группу на 5'-конце гекса- и тетрануклеотидов ($\text{CIRCH}_2\text{NH}(\text{pN})_{4,6}$) [5]. Для получения алкилирующих фосфамидов олигодезоксинуклеотидов мы применяли фосфорилирование $\text{CIRCH}_2\text{NH}_2$ с помощью ($\text{PhO}_2\text{p}(\text{pN})_n$) [6, 7], как это описано для получения фосфамидов нуклеотидов [8, 9]. Однако этот процесс даже в оптимальных условиях сопровождается образованием примеси симметричного бис-продукта [6]. Другой метод — ацилирование 5'-фосфатов олигодезоксинуклеотидов мезитиленкарбонилхлоридом (MsCOCl) приводит к избирательной

Сокращения: $\text{CIRCH}_2\text{NH}_2$ — 4-(N-2-хлорэтил-N-метиламино)бензиламин; $(\text{CIRCH}_2\text{NH})(\text{pA})_n$ — 4-(N-2-хлорэтил-N-метиламино)бензил-5'-фосфамиды олиго-рибоаденилатов (pA)_n с длиной цепи n = 5—7; MsCOCl — мезитиленкарбонилхлорид.

активации 5'-концевого фосфата и далее при обработке аминами к образованию только 5'-фосфамидов [10—12]. Однако ацилирование 5'-фосфатных групп в олигорибонуклеотидах с помощью MsCOCl осложнено образованием фосфоциклогидроксилов [13, 14], которые под действием водных растворов или аминов в безводной среде претерпевают расщепление одной из триэфирных связей. Это ведет к частичной деградации олигорибонуклеотидов и изомеризации их фосфодиэфирных связей [14, 15]:



Тем не менее благодаря устойчивости 5'-мезитиленкарбонилфосфатной группы [10—12] олигомеры (MsCO) $(pN)_n$ с длиной исходного олигонуклеотида могут быть выделены из смеси ионообменной хроматографией и использованы для синтеза фосфамидов [15]. Но эта устойчивость связана с низкой фосфорилирующей способностью ацилфосфатов, и для получения из них фосфамидов требуются длительное время реакции и высокие концентрации аминов [10, 12]. В случае производных $\text{CIRCH}_2\text{NH}_2$ с активной C—Cl-связью такие условия могли оказаться неприемлемыми. Поэтому мы исследовали кинетику фосфорилирования $\text{CIRCH}_2\text{NH}_2$ с помощью (MsCO) pA и ионизацию C—Cl-связи амина в тех же условиях.

По кинетическим кривым (рис. 1) для двух избыточных концентраций амина — 1,17 и 0,38 М — в условиях, когда фосфорилирование протекало как псевдомономолекулярная реакция, были рассчитаны константы скорости реакции первого порядка k_1 ($7.4 \pm 0.9 \cdot 10^{-5}$ и $(1.6 \pm 0.2) \cdot 10^{-5} \text{ с}^{-1}$ соответственно). Из значений k_1 вычислена константа скорости фосфорилирования второго порядка $k_2 = k_1 / [\text{CIRCH}_2\text{NH}_2]$, которая составила $(5.3 \pm 1.1) \cdot 10^{-5} \text{ M}^{-1} \text{ с}^{-1}$. В соответствии со значением k_2 для полного превращения (MsCO) pA в фосфамид при 50° требуется 22 ч для 1 М и 40 ч для 0,5 М $\text{CIRCH}_2\text{NH}_2$. В этих условиях содержание ковалентного хлора в основании уменьшается на 16,5 %. В образующихся $(\text{CIRCH}_2\text{NH})pA$ или $(\text{CIRCH}_2\text{NH})(pN)_n$ процесс отщепления хлора должен протекать медленнее, так как фосфамидная группа в сравнении с аминогруппой дезактивирует C—Cl-связь. Следовательно, условия фосфорилирования не являются лимитирующими и наиболее существенным недостатком получения фосфамидов олигорибонуклеотидов через 5'-мезитильные производные является низкий выход последних (17—27 %) в составе сложной смеси [15]. Образование фосфоциклогидроксилов, служащих причиной осложнений, происходит очень быстро как в пиридине, так и в диметилформамиде [13, 14]. Создается впечатление, что эта реакция протекает быстрее ацилирования концевых 5'-фосфомоноэфирных групп и что селективное ацилирование затруднено. Подобрав условия количественного ацилирования на примере pA и проацилировав $(pA)_7$ и $(\text{Up})_4\text{U}$ в этих условиях, мы исследовали влияние растворов некоторых солей на продукты ацилирования с целью достичь наименьшего расщепления межнуклеотидных связей и, следовательно, максимального выхода ацилфосфатов с длиной исходных олигонуклеотидов.

Выделение продуктов ацилирования $(pA)_7$ осаждением их из реакционной смеси эфиром и последующая обработка амином $\text{CIRCH}_2\text{NH}_2$ приводят к 17—25 % выходу фосфамидов. Этим путем ранее были получены $(\text{CIRCH}_2\text{NH})(pN)_{5-6}$ [16]. Длительное выдерживание продуктов ацилирования $(pA)_7$ в водном пиридине, в водно-пиридиновых растворах диметилформамида сопровождается глубоким расщеплением олигомера: $(\text{MsCO})(pA)_7$ (в смеси с $(\text{MsCO})(pA)_6 > p$) сохраняется на 19—24 % (рис. 2a). Аналогичные результаты получены в водных растворах ацетата пиридinium, NaCl и цетилtrimетиламмонийбромида. Но использование для обработки продукта ацилирования 0,6—1 М бикарбоната триэтиламмония

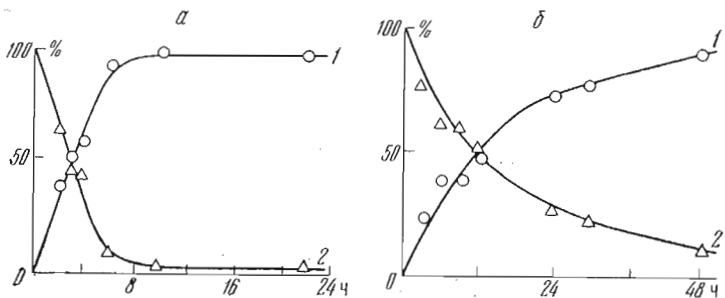


Рис. 1. Кинетические кривые образования $(\text{CIRCH}_2\text{NH})\text{pA}$ (1) и убыли $(\text{MsCO})\text{pA}$ (2) при 50° в абс. диметилформамиде. Концентрация $(\text{MsCO})\text{pA} = 12,5 \text{ mM}$, $\text{CIRCH}_2\text{NH}_2 = 1,17 \text{ M}$ (а) и $0,38 \text{ M}$ (б)

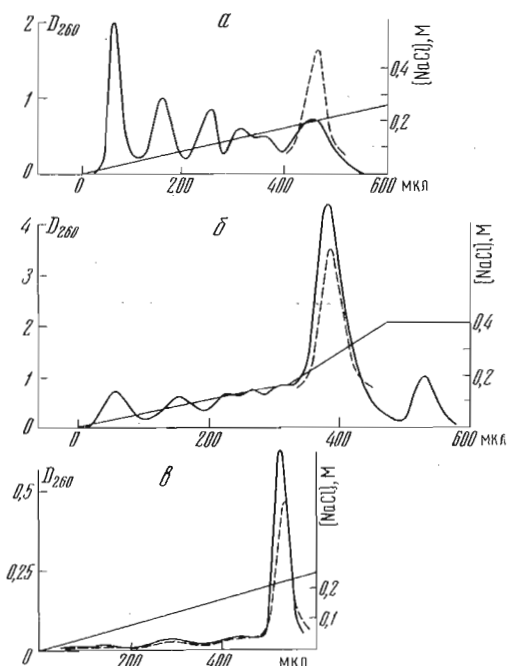


Рис. 2. Профили микроколоночной хроматографии по зарядам продуктов ацилирования (pA)₇ (а и б) и (Up)₄ U (в) с помощью MsCOCl после обработки их растворами: а — пиридин — вода — диметилформамид (1 : 1 : 2) при 5° ; б — 0,6 М бикарбонат триэтиламмония при $5—20^\circ$; в — 0,8% водный цетилtrimетиламмонийбромид при $5—20^\circ$. Пунктиром обозначен исходный олигонуклеотид

при $0—20^\circ$ приводит к $(\text{MsCO})(\text{pA})_7$ с выходом 48—70% (рис. 2б). Заметное влияние на выход $(\text{MsCO})(\text{pA})_7$, при этой обработке оказывает концентрация продуктов ацилирования. При $0,6—1,2 \text{ mM}$ концентрации последних он составляет 48%, разбавление до $0,06 \text{ mM}$ повышает выход до 70%. Производные олигоуридилатов дают больший выход 5'-ацилфосфатов, чем производные олигоаденилатов, и обработка продуктов ацилирования (Up)₄ U водным раствором цетилtrimетиламмонийбромида в диметилформамиде ведет почти к количественному выходу олигомера исходной длины (рис. 2в). Непродолжительная обработка (~1 ч) продуктов ацилирования водным пиридином, водными растворами перечисленных выше солей в пиридине или диметилформамиде с последующим выдерживанием с бикарбонатом гриэтиламмония позволяет выделить до 60% $(\text{MsCO})(\text{pA})_7$ в смеси с

Таблица 1

Состав и характеристика смеси фосфамидов, полученной через мезитоильное производное из $(pA)_7$ (рис. 3)

| Фракция | Соединение | $\epsilon_{260} \cdot 10^{-3}$ | Содержание, мол. % (по $[^{14}\text{C}]$) | Молярное соотношение амин/олигонуклеотид |
|---------|--------------------------------------|--------------------------------|--|--|
| 1 | ClCH_2NH_2 | 14,6 [6] | <2 | — |
| 2 | $(\text{ClCH}_2\text{NH})(pA) > p$ | 25,7 [6] | 9,4 | 0,8 |
| 3 | $(\text{ClCH}_2\text{NH})(pA)_2 > p$ | 39 | 9,6 | 0,6 |
| 4 | $(\text{ClCH}_2\text{NH})(pA)_3 > p$ | 50 | 7,3 | 0,7 |
| 5 | $(\text{ClCH}_2\text{NH})(pA)_4 > p$ | 61 | 7,9 | 0,9 |
| 6 | $(\text{ClCH}_2\text{NH})(pA)_5 > p$ | 73 | 4,5 | — |
| 7 | $(\text{ClCH}_2\text{NH})(pA)_6 > p$ | 85 | 52 | 0,83 |
| 8 | Не идентифицирован | | 9,3 | — |

* ϵ_{260} вычисляли суммированием ϵ_{260} ($\text{ClCH}_2\text{NH})(pA)$ [6] и олигоаденилатов соответствующей длины [28].

Таблица 2

Состав и характеристика смеси, полученной после ацилирования $(pA)_7$ дифенилхлорфосфатом и обработки $[^{14}\text{C}] \text{ClCH}_2\text{NH}_2$ *

| Фракция | Соединение | Содержание, мол. % (по $[^{14}\text{C}]$) | Молярное соотношение амин/олигонуклеотид |
|---------|--|--|--|
| 1 | ClCH_2NH_2 | 15–28 ** | — |
| 2 | $(\text{ClCH}_2\text{NH})(pA) > p$ | 11,5 | — |
| 3 | $(\text{ClCH}_2\text{NH})(pA)_2 > p$ | 10,0 | — |
| 4 | $(\text{ClCH}_2\text{NH})(pA)_3 > p$ | 9,9 | 0,51 |
| 5 | $(\text{ClCH}_2\text{NH})(pA)_4 > p$ | 10,7 | 0,70 |
| 6 | $(\text{ClCH}_2\text{NH})(pA)_5 > p$ | 14,1 | 0,61 |
| 7 | $(\text{ClCH}_2\text{NH})(pA)_7$ и $(\text{ClCH}_2\text{NH})(pA)_6 > p$ | 23,0 | 0,93 |
| 8 | Не идентифицирован | 20,7 | — |

* Пирофосфат на BD-целлюлозе не разделялся. На DEAE-целлюлозу (30 мкл) нанесли 0,234 ОЕ₂₆₀ и элюировали 600 мкл градиента NaCl от 0 до 0,18 М.

** От суммы с фосфамидами.

$(\text{MsCO})(pA)_6 > p$. Это обстоятельство, видимо, связано с тем, что продукты ацилирования не так быстро реагируют с водой, как следовало бы ожидать от фосфоциклоэфиров [14]. Вероятно, процесс превращения последних протекает через образование менее активных промежуточных веществ.

На рис. 3 приведено разделение по зарядам продуктов ацилирования $(pA)_7$ с помощью MsCOCl , обработанных водным пиридином и затем 0,6 М бикарбонатом триэтиламмония после их отделения от олигонуклеотидов на BD-целлюлозе, а также разделение полученных из смеси $(\text{MsCO})(pA)_n$ фосфамидов, характеристики которых приведены в табл. 1. Заряд веществ каждой фракции, УФ-поглощение и радиоактивность этих веществ показывают, что содержание в них остатка амина относительно олигоаденилата близко эквимолярному (табл. 1). Содержание каждого из олигомеров, кроме исходного, колеблется от 4,5 до 9,6 %. Столько же, вероятно, содержится и $(\text{ClCH}_2\text{NH})(pA)_6 > p$, который имеет с $(\text{ClCH}_2\text{NH})(pA)_7$ одинаковый заряд и не отделяется от него. Выход $(\text{ClCH}_2\text{NH})(pA)_7$ в этих условиях составляет 44 %. Эта величина и равномерное распределение продуктов расщепления (в среднем 8 %) указывают на расщепление одной из связей в половине молекул исходного гептамера.

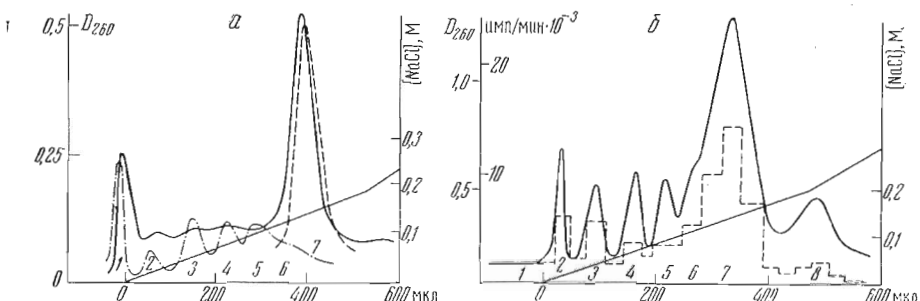


Рис. 3. Профили микроколоночной хроматографии по зарядам: а: — ацилфосфаты ($\text{MsCO}(\text{pA})_n$); — олигонуклеотиды, не содержащие заместителей (хроматография на BD-целлюлозе); — исходный (pA_7). б: — фосфамиды [^{14}C] (CIRCH_2NH) (pA_n). На колонку с 50 мкл DEAE-целлюлозы нанесено 0,36 ОЕ₂₀; — радиоактивность

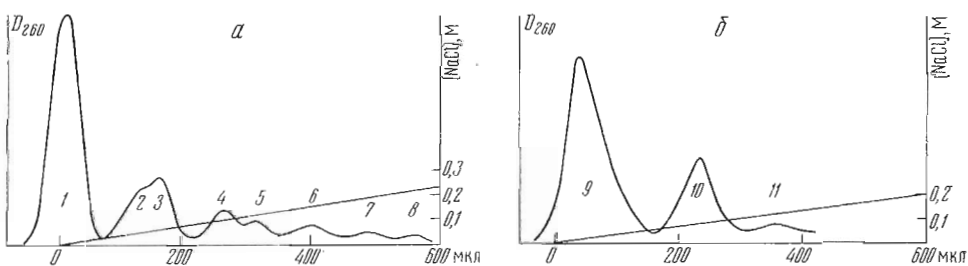


Рис. 4. Профили микроколоночной хроматографии по зарядам: а — T_2 -РНКазного гидролизата ($\text{MsCO}(\text{pA})_7$); б — пиримидил-РНКазного гидролизата (Up_4U , обработанного MsCOCl , затем 8% водным бромидом цетилtrimетиламмония — диметилформамидом. 1 — А + АР, 2 — (АР)₂, 3 — (MsCO)₂РАР, 4 — (АР)₃, 5 — (MsCO)₂Р(АР)₂, 6 — (АР)₄, 7 — (АР)₅, 8 — (АР)₆, 9 — У + Up, 10 — (Up)₂, 11 — (Up)₃

Таким образом, при обработке продуктов ацилирования олигорибонуклеотидов MsCOCl водным бикарбонатом триэтиламмония можно получать их 5'-ацилфосфаты с 70—80% выходом; при этом в олигомерах длиной в 6—10 нуклеотидов расщепляется менее 30% всех связей или 3—5% каждой.

Для анализа изомеризации межнуклеотидных связей в условиях предлагаемой обработки ($\text{MsCO}(\text{pA})_7$) гидролизовали РНКазой T_2 и (Up_4U — пиримидил-РНКазой. Их гидролизаты делили на DEAE-целлюлозе (рис. 4). По соотношению количества и длины негидролизующихся олигомеров (20 и 26%) степень изомеризации в производном (pA_7) составила 17%, в (Up_4U — 15%, т. е. в половине молекул изомеризована одна связь.

Согласно ряду работ [17—19], олигонуклеотиды, содержащие 2'—5'-фосфодиэфирные связи, способны к комплементарным взаимодействиям с нуклеиновыми кислотами, и их константы связывания лишь незначительно отличаются от констант связывания природных олигомеров. Это позволяет надеяться, что некоторая доля изомерных связей в алкилирующих производных принципиально не затруднит их комплексообразование с нуклеиновыми кислотами.

Согласно работе [15], а также данным рис. 3, анализ фосфамидных производных позволяет судить о расщеплении олигонуклеотидов на стадии ацилирования их мезогтиленкарбонилхлоридом. Это представляет особый интерес для изучения превращений при образовании $(\text{PhO})_2\text{p}(\text{N})_n$ — активных производных олигомеров, которые нельзя хроматографировать без заметных превращений. Мы исследовали состав смеси, полученной фос-

форилированием [^{14}C]CIRCH₂NH₂ с помощью (PhO)₂p(pA)₇. Эта смесь содержала фосфамиды разных зарядов, которые при элюции солевыми растворами на 70—85% задерживались на BD-целлюлозе. Фосфамиды каждой фракции содержали амин и олигонуклеотид в соотношении, близком к эквимолярному (табл. 2), и имели от 2 до 7 зарядов. Олигомеры, не содержащие ароматического заместителя (по УФ-поглощению — 15—30%), представлены более короткими производными. Их содержание несколько меньше, чем при ацилировании олигонуклеотидов с помощью MsCOCl [15].

Это означает, что при действии (PhO)₂POCl на олигорибонуклеотиды и последующей обработке также происходит расщепление фосфодиэфирных связей. Доля коротких фосфамидов (табл. 2) здесь также практически одинакова (~ 10—14% каждого), но несколько выше, чем в опыте с (MsCO)(pA)₇. Эти величины означают, что расщепление каждой связи составляет 10—14%, выход длинных фосфамидов всего 23%, а молекула гентамера претерпевает расщепление 1—1,5 связей.

Надо отметить, что олигорибонуклеотиды, не содержащие 5'-концевого фосфата ($N\text{p}_{n-1}N$, после ацилирования как MsCOCl, так и (PhO)₂POCl (без водной обработки или при непродолжительном действии воды) все же присоединяют остаток аминов, превращаясь, вероятно, в фосфамиды фосфодиэфиров. Степень присоединения аминов при этом тем выше, чем выше концентрация хлорангидрида в реакционной смеси на первой стадии. Так, при возрастании концентрации MsCOCl с 25 до 250 мМ степень включения амина [^{14}C]CIRCH₂NH₂ в 3—5 мМ растворе ($N\text{p}_5N$ увеличивается с 0,22 до 0,56 моль на 1 моль олигонуклеотида. 15 мМ (PhO)₂POCl способствует включению 0,07 моль, а 150 мМ — 0,44 моль амина на 1 моль ($N\text{p}_5N$). Образующиеся соединения достаточно лабильны и отщепляют амин в водной среде при pH 7,8—8,6 в соответствии со свойствами 3'(2')-фосфамидов нуклеозидов и нуклеозид-2',3'-циклофосфатов [20]. При pH 8—9 эти соединения подвергаются дальнейшему расщеплению межнуклеотидных связей; образуется некоторое количество производных с фосфомоноэфирной группой, отщепляемой фосфомоноэстеразой (от 0,16 до 0,45 моль фосфата на моль ($N\text{p}_5N$). Ацилирование мезитиленкарбонилхлоридом (Up_4U , обработка продуктов ацилирования 50% водным пиридином и затем бензиламином в безводной среде ведет к образованию смеси отmono- до пентациклидилатов. Судя по микроколоночной хроматографии по зарядам, среди них присутствуют олигомеры, содержащие гидрофобные заместители, задерживающие их на колонке. При pH 8 (37°, 8 ч) эти соединения полностью разрушаются. В контролльном опыте $\text{U} > \text{p}$, обработанный 1 М бензиламином в диметилформамиде при 50° в течение суток, образует некоторое количество Up , но бензилфосфамидов при этом не обнаруживается. Следовательно, при взаимодействии продуктов ацилирования олигорибонуклеотидов с аминами реакция протекает по активированным межнуклеотидным фосфатным группам; если активные группировки не разрушены водной обработкой, то при действии на них аминов в безводной среде образуются, вероятно, фосфамиды фосфодиэфиров, являющиеся причиной дальнейшего расщепления олигонуклеотидов.

Будучи активными фосфорилирующими соединениями, (PhO)₂p(pN)_n все же выдерживают хроматографию и электрофорез на бумаге [21]. Это указывает на возможность подбора условий для разрушения активированной формы межнуклеотидных фосфатов в них.

Алкилирующие производные бензилиденолигонуклеотидов образуют с рРНК, тРНК и ДНК комплементарные комплексы, и в них эффективно алкилируют нуклеиновые кислоты [1—4].

Чтобы установить пригодность реагентов, полученных предлагаемым методом, к комплементарно адресованной модификации, мы проверили их способность к образованию комплексов с рРНК и ДНК *E. coli* и к алкилированию в этих комплексах. Испытывались реагенты, выделенные микроколоночной хроматографией из смеси фосфамидов разной длины и смеси

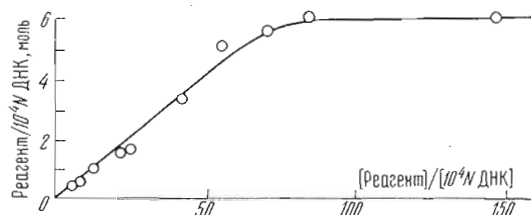


Рис. 5. Зависимость степени алкилирования ДНК с помощью $(\text{CIRCH}_2\text{NH})(\text{pA})_7$ при 20° в буфере 2 от концентрации реагента

фосфамидов олигоаденилатов без разделения, полученных фосфорилированием $\text{CIRCH}_2\text{NH}_2$ с помощью как $(\text{MsCO})(\text{pA})_7$, так и $(\text{PhO})_2\text{p}(\text{pA})_7$. Как те, так и другие с рРНК и ДНК при 0° образовывали комплексы, которые были выделены гель-фильтрацией на сефадексе G-75 при 0° . В условиях насыщения рРНК связывала 8 из 42–52 моль реагента, а к 10^4 нуклеотидов ДНК присоединялось 25–26 из 60 моль $(\text{CIRCH}_2\text{NH})(\text{pA})_7$ в смеси с $(\text{CIRCH}_2\text{NH})(\text{pA})_6 > \text{p}$. Число участков связывания фосфамидов гептаденилата и гексаденилата в ДНК оказалось тем же, что и число участков связывания алкилирующего производного гексаденилата с 2', 3'-бензилиденовой группировкой [3]. По сравнению с последним в рРНК фосфамиды узнавали лишь 8 участков вместо 27–50 в тех же условиях [22]. При выдерживании растворов выделенных комплексов при 20° реагенты ковалентно присоединялись к РНК и ДНК. Повышение температуры и разбавление растворов при выделении комплексов уменьшало степень ковалентного присоединения реагента к рРНК до 4 моль на моль рРНК. Алкилирование рРНК при 20° без выделения комплекса при той же концентрации реагента, что и при комплексообразовании, дает степень модификации, равную степени связывания. Если алкилирование ДНК проводили при 20° , после выделения комплекса при 0° степень модификации оказывалась существенно ниже степени связывания при 0° . Из 26 моль реагента ковалентно присоединялось только 6. В условиях насыщения без выделения комплекса (при тех же концентрациях ДНК) степень алкилирования также составила 6 остатков реагента на 10^4 нуклеотидов ДНК (рис. 5). Сходные результаты по алкилированию ДНК давали реагенты, полученные ацилированием ($\text{pA})_7$, мезитиленкарбонилхлоридом и дифенилхлорфосфатом.

С увеличением избытка реагента степень модификации растет (рис. 5). Как и в случае 3'-алкилирующих производных, добавление исходного олигоаденилата ингибирует алкилирование. Так, 1,8-кратный избыток ($\text{pA})_7$, добавленный к $(\text{CIRCH}_2\text{NH})(\text{pA})_7$, понижает степень модификации вдвое. Это указывает на взаимодействие реагента с теми же олиготимидиновыми участками ДНК, с которыми ассоциирует олигоаденилат. Однаковая степень алкилирования ДНК наблюдалась при действии реагентов, как выдержавших хроматографическое разделение, так и не подвергавшихся ему, т. е. выделение реагентов микроколоночной хроматографией не снижает содержания активного хлора в реагентах, свидетельствуя о пригодности предложенных методик для получения алкилирующих производных олигонуклеотидов с модифицирующей группой на 5'-конце.

Свидетельством протекания реакции в комплексе служит и эффективность алкилирования рРНК и ДНК, вычисленная по [23] и составляющая $(1,6 \pm 0,5) \cdot 10^5 \text{ M}^{-1}$, что на 3 порядка выше эффективности алкилирования с помощью $(\text{CIRCH}_2\text{NH})\text{pU}$ вне комплекса [24].

Экспериментальная часть

В работе использовались натриевая соль рА фирмы Reanal (Венгрия), $(pA)_{5-7}$ — производства НИС НГУ (Новосибирск). По описанным методикам получали $MgCOCl$ [25] и $(PhO)_2POCl$ [26]; $(Np)_{n-1}N$ получали дефосфорилированием $(pN)_n$ [16] щелочной фосфомоногидразой. $[^{14}C]ClRCH_2NH_2$ удельной активности 12 мКи/ммоль получали, как описано в работе [6]. Хроматографию на бумаге FN-1 (ГДР) проводили в системах: изопропанол — конц. NH_3 — вода, 7 : 1 : 2 (А); этанол — 1 М ацетат аммония, 7 : 3, pH 7,5 (Б); этанол — NH_3 — вода, 80 : 2 : 18 (В); *n*-пропанол — амиак — вода, 50 : 10 : 35 (Г).

Анализ веществ и смесей с помощью хроматографии на DEAE- и BD-целлюлозе, микроколоночную хроматографию, гидролиз пиридил-РНКазой и фосфомоногидразой проводили, как указано в работе [15]. Содержание ковалентного и ионного хлора в фосфамидах определяли до и после гидролиза в 0,3 М KOH с помощью потенциометрического титрования $AgNO_3$, как описано ранее [16].

Получение $(ClRCH_2NH)(pA)_7$. *Метод А.* Цетилтритиаммониевую соль $(pA)_7$ (2 мкмоль) высушивали упариванием с безводным диметилформамидом (ДМФ) ($3 \times 0,3$ мл). К остатку в 0,05 мл ДМФ добавляли 0,55 мл 25—29 мМ раствора $MgCOCl$ в безводном пиридине; раствор выдерживали 20 мин при 20° и осаждали в 80 мл эфира. Осадок дважды пересаждали из ДМФ в эфир, промывали эфиром, растворяли в 0,5 мл ДМФ, добавляли 0,1 мл 1 М NaI в ацетоне и Na-соль осаждали 15 мл ацетона; через 1 ч осадок отделяли, растворяли при 0° в 30 мл 0,6 М бикарбоната триэтиламмония и выдерживали 3—5 ч при 20°, разбавляли спиртом в 2 раза и упаривали несколько раз, добавляя спирт. Остаток растворяли в 1 мл воды и наносили на колонку (10 мл) с BD-целлюлозой. Колонку промывали последовательно 200 мл 0,01 М, 200 мл 0,05 М и 50 мл 0,6 М бикарбоната триэтиламмония в 50% спирте. Выход УФ-поглощающего материала 80—90%. Микроколоночная хроматография 2-й фракции по зарядам представлена на рис. 2б. Фракции упаривали, добавляя спирт, и высушивали отгонкой с ДМФ. К остатку добавляли 0,1 мл раствора 109 мкмоль $[^{14}C]ClRCH_2NH_2$, полученного из 28,2 мг его хлоргидрата по методике работы [6], до конечной концентрации $(MgCO)(pA)_7$ 15—20 мМ и $ClRCH_2NH_2$ — 0,90—0,95 М. Раствор выдерживали в сухой атмосфере 24 ч при 50° и осаждали в эфир: осадок пересаждали из спирта или ДМФ в эфир, промывали эфиром (5×5 мл), растворяли в 0,5 мл ДМФ, добавляли 0,1 мл 1 М NaI в ацетоне и Na-соль $(ClRCH_2NH)(pA)_7$, осаждали 15 мл ацетона. Через 1 ч осадок отделяли центрифугированием, промывали ацетоном до отсутствия радиоактивности в надосадочной жидкости и высушивали над P_2O_5 в вакууме. Соотношение олигомер — амин в препарате составляло 1 : 0,92, примесь $ClRCH_2NH_2$, элюирующейся водой или 0,08 М бикарбонатом триэтиламмония при хроматографии на DEAE-сепадексе, не более 2 %. $(MgCO)(pA)_7$ или $(ClRCH_2NH)(pA)_7$ из смеси соответствующих производных выделяли также (минуя разделение на BD-целлюлозе) хроматографией на DEAE-целлюлозе ($0,2 \times 6$ см), уравновешенной 0,01 М трис-HCl (pH 7,3), в 7 М мочевине (фосфамиды — при 5°). На колонку наносили 20—50 ОЕ₂₆₀ в 0,2 мл. Для элюции коротких олигомеров колонку промывали 1,5 мл 0,2 М NaCl в том же растворе и затем гептамеры элюировали 1,5 мл 0,3 М и 1,5 мл 0,5 М NaCl; скорость элюции 2 мл/ч. Фракцию обессоливали на сепадексе G-10 и применяли для алкилирования. По данным микроколоночной хроматографии в градиенте NaCl, в продукте содержалось 85—90% гептамера, по 3—5% пента- и гексамеров, а также ~5% пирофосфатов. Незамещенных олигомеров в продукте не содержится. Относительно $(pA)_7$ R_f $(ClRCH_2NH)(pA)_7$ при многодневной хроматографии в системе Г при 5°—1,1.

Метод Б. К раствору 0,59 мкмоль цетилтритиаммониевой соли

$(pA)_7$ в 0,02 мл ДМФ добавляли 0,2 мл 0,03 М $(PhO)_2POCl$ в диоксане и 0,2 мл 34 мМ Bu_3N до конечной концентрации $(pA)_7$ — 1—3 мМ, Bu_3N — 17 мМ, $(PhO)_2POCl$ — 15 мМ и выдерживали 3 ч при 20°. (Реакцию 10 мМ $(Np)_{5-6}N$ проводили в 0,15 М $(PhO)_2POCl$ и 0,17 М Bu_3N .) Смесь осаждали в эфир, остаток переосаждали и промывали эфиром; следы эфира удаляли в вакууме. Раствор остатка в 0,6 мл ДМФ, содержащего 59 мг [^{14}C]Cl RC_2NH_2 , выдерживали 5 ч при 20°. (Концентрация олигомера 11,1 мМ, амина 0,3—1,0 М.) Фосфамид выделяли, как описано выше. Выход $(ClRCH_2NH)(pA)_7$ в смеси $(ClRCH_2NH)(pA)_6 > p$ 23%. Характеристика препарата приведена в табл. 2.

Влияние условий на образование $(MsCO)pA$ проверяли по выходу $(MsCO)pA$ и симметричного пирофосфата, которые определяли хроматографией на бумаге в системах А—В. Контрольным опытом служило ацилирование 10 мМ цетил trimetilammonium соли рА 25 мМ $MsCOCl$ при 20—40° в пиридине как описано [10, 11]; в этих условиях выход $(MsCO)pA$ 95—98%; содержание рА 2—5%. Триэтил- и триоктиламмониевые соли рА ацилируются аналогично. Реакция заканчивается за 20 мин. При ацилировании 0,17 М $MsCOCl$ в ДМФ в присутствии 0,17 М Bu_3N при 20° за 24 ч выход $(MsCO)pA$ 30% и симметричного пирофосфата 70% (R_f 0,3 в системе А). В смеси ДМФ — пиридин (1 : 1) при 20° за 45 мин образуется 70% $(MsCO)pA$.

Кинетика фосфорилирования $ClRCH_2NH_2$ 5'-мезитоилфосфатом аденоцина. Реакционную смесь объемом 0,4 мл, содержащую 12,5 мМ цетил trimetilammonium соль $(MsCO)pA$ и 1,17 М $ClRCH_2NH_2$ в безводном ДМФ, выдерживали при 50° в отсутствие влаги, отбирая пробы по 0,04 мл. Пробы осаждали в 10 мл абс. эфира, осадок отделяли центрифугированием, промывали эфиром, растворяли в метаноле и хроматографировали в течение 15 ч на бумаге при 4—5° в системе Б; рА (R_f 0,17), $(ClRCH_2NH)pA$ (R_f 0,55) и $(MsCO)pA$ (R_f 0,73) элюировали водой и измеряли УФ-поглощение растворов при 260 нм и рН 1, чтобы исключить влияние близко идущего к $(MsCO)pA$ амина $ClRCH_2NH_2$ (R_f 0,80). Аналогично снимали кинетическую кривую фосфорилирования 0,38 М $ClRCH_2NH_2$ 0,5 мМ $(MsCO)pA$ в безводном ДМФ. Кинетические кривые даны на рис. 1.

*Получение комплексов с ДНК и рРНК *E. coli*.* К раствору 1—3 ОЕ₂₆₀ ДНК или РНК в 1 мл 0,2 М NaCl и 0,01 М MgCl₂ в 0,01 М трис-HCl, pH 7,4 (буфер 1) при 0° добавляли раствор [^{14}C]Cl $RC_2NH(pA)_7$, выделенного ионообменной хроматографией, или смесь фосфамидов, отделенных от примеси амина на DEAE-целлюлозе в 0,01 М трис-HCl (буфер 2). Комплексообразование проводили при 5—60-кратном избытке реагента. Раствор выдерживали 2 ч при 0° и фильтровали через колонку (43×1 см) с сепадексом G-75 при 0° в 0,01 М трис-HCl-буфере. В полимерном пике получали комплекс, во втором — избыточный олигомер. Степень связывания выражали в моль реагента на моль рРНК и 10⁴ моль нуклеотидов ДНК, о чем судили по радиоактивности фракций и их оптической плотности при 260 нм. Комплекс оставляли для алкилирования и проверяли на способность к диссоциации гель-фильтрацией при 45° на той же колонке.

Алкилирование ДНК и рРНК фосфамидами $ClRCH_2NH(pA)_n$ проводили в буфере 1, как в работах [2—4], выдерживая смесь 4 сут при 20°. Непрореагировавший олигомер отделяли на сепадексе G-75 при 45° в буфере 2. Степень модификации в моль амина на моль рРНК или на 10⁴ моль нуклеотидов ДНК определяли по радиоактивности и УФ-поглощению фракций.

Гидролиз РНКазой T_2 [КФ 2.7.7.17] (Sankyo, Япония). Раствор 0,06 ОЕ₂₆₀ $(MsCO)(pA)_7$ в 15 мкл воды (рН 4,5) выдерживали с 0,1 ед. акт. ферmenta при 37° в течение 2 ч, как указано в работе [29]. Гидролизат разбавляли водой и анализировали микроколоночной хроматографией на DEAE-целлюлозе в градиенте NaCl от 0 до 0,25 М в 7 М мочевине (рис. 4). Степень изомеризации вычисляли как в работе [15].

Авторы благодарят Т. А. Чимитову за помощь при определении констант скоростей фосфорилирования и Е. Ф. Зайчикова и А. Н. Кривошеину за помощь при проведении микроколоночной хроматографии.

ЛИТЕРАТУРА

1. Гринева Н. И., Карпова Г. Г., Мызина С. Д., Фодор И., Баев А. А. (1975) Докл. АН СССР, **223**, 1477—1480.
2. Гринева Н. И., Карпова Г. Г. (1974) Молекулярн. биология, **8**, 832—844.
3. Гринева Н. И., Карпова Г. Г., Кузнецова Л. П., Чимитова Т. А., Венстера Т. В., Шершнева Л. П., Баев А. А. (1976) Молекулярн. биология, **10**, 1260—1271.
4. Гринева Н. И., Карпова Г. Г., Мызина С. Д., Чемасова А. Н. (1975) Биоорганическая химия, **16**, 1707—1715.
5. Василенко С. К., Гринева Н. И., Карпова Г. Г., Козоровицкий А. Я., Ломакина Т. С., Саарма М. Ю., Тиунов М. П. (1973) Докл. АН СССР, **212**, 1227—1230.
6. Гринева Н. И., Ломакина Т. С. (1972) Ж. общ. химии, **42**, 1630—1634.
7. Гринева Н. И., Ломакина Т. С. (1973) Ж. общ. химии, **43**, 2551—2555.
8. Воробьев О. Е., Шабарова З. А., Прокофьев М. А. (1964) Ж. общ. химии, **34**, 359—361.
9. Michelson A. M. (1964) Biochim. et biophys. acta, **91**, 1—13.
10. Гатинская Л. Г., Смирнов В. В., Соколова Н. И., Шабарова З. А., Прокофьев М. А. (1973) Докл. АН СССР, **212**, 363—366.
11. Носова В. В., Ивановская М. Г., Соколова Н. И., Шабарова З. А. (1975) Вестн. МГУ, № 1, 87—90.
12. Shumyantzeva V. V., Sokolova N. I., Shabarova Z. A. (1976) Nucleic Acids Res., **3**, 903—906.
13. Будкер В. Г., Зарытова В. Ф., Кнопре Д. Г., Кобец Н. Д., Рязанкина О. И. (1977) Биоорганическая химия, **3**, 618—625.
14. Друца В. Л., Зарытова В. Ф., Кнопре Д. Г., Соколова Н. И., Шабарова З. А. (1977) Докл. АН СССР, **233**, 91—93.
15. Гимаутдинова О. И., Гринева Н. И., Денисова Л. Я., Ломакина Т. С., Пустошилова Н. М. (1977) Биоорганическая химия, **3**, 1633—1640.
16. Гринева Н. И., Ломакина Т. С., Тигеева Н. Г., Чимитова Т. А. (1977) Биоорганическая химия, **3**, 210—214.
17. Соколова Н. И., Карагаманова Н. Г., Долинная Н. Г. (1975) Успехи химии, **44**, 104—133.
18. Michelson A. M., Monney C. (1967) Biochim. et biophys. acta, **149**, 107—126.
19. Lipsett M. N. (1964) J. Biol. Chem., **239**, 1256—1260.
20. Преображенская Н. Н., Шабарова З. А. (1967) Докл. АН СССР, **174**, 100—104.
21. Сайкович Е. Г. (1973) Канд. дис. «Специальные реагенты для метилирования нуклеиновых кислот», Новосибирск.
22. Гринева Н. И., Карпова Г. Г., Шамовский Г. Г. (1974) Молекулярн. биология, **8**, 832—844.
23. Бентвецкая Л. З., Гринева Н. И., Карпова Г. Г., Пичко Н. П. (1977) Биоорганическая химия, **3**, 903—913.
24. Богачев В. С., Гринева Н. И., Ломакина Т. С. (1973) Изв. Сиб. отд. АН СССР. Сер. хим. н., вып. 4, 97—104.
25. Синтезы орг. препаратов (1952) т. 3, с. 462—463, Изд-во иностр. лит., М.
26. Brigi P., Müller H. (1939) Chem. Ber., **72**, 2121—2130.
27. Foster A. B., Overend W. G., Stacey M. (1951) J. Chem. Soc., 980—987.
28. Барам Г. И., Беликов С. И., Веньяминова А. Г., Гринева Н. И., Зарытова В. Ф., Козоровицкий А. Я., Шамовский Г. Г. (1972) Изв. Сиб. отд. АН СССР. Сер. хим. н., вып. 1, 115—120.
29. Avdonina T. A., Kisselov L. L. (1974) FEBS Lett., **39**, 283—286.

Поступила в редакцию:
30.V.1977

PREPARATION OF 4-(N-2-CHLOROETHYL-N-METHYLAMINO)BENZYL
RIBOOLIGOADENYLATE 5'-PHOSPHAMIDES AND THEIR INTERACTION
WITH *E. COLI* rRNA AND DNA

GUIMAUTDINOVA O. I., GRINEVA N. I., KARPOVA G. G., LOMAKINA T. S.,
SHEPAKOVA E. L.

*Institute of Organic Chemistry, Siberian Branch
of the Academy of Sciences of the USSR, Novosibirsk*

With the purpose of preparing the fragments from DNA which contains 3'-terminal oligothymidylic sequences, the conditions for obtaining the phosphamides alkylating derivatives have been searched. By phosphorylating 4-(N-2-chloroethyl-N-methylamino)benzylamine (ClCH_2NH_2) with oligoribonucleotide 5'-mesitoyl phosphates [$\text{MsCO}(\text{pA})_n$], oligoribonucleotide 4-(N-2-chloroethyl-N-methylamino)benzyl 5'-phosphamides [$\text{ClCH}_2\text{NH}(\text{pA})_n$] were prepared. Under aqueous treatment of the acylation products in the specified conditions there was virtually no oligoribonucleotide degradation, and the extent of isomerization of phosphodiester bonds was below 17%. The rate constant of the ClCH_2NH_2 phosphorylation with MsCOpA was $5,3 \cdot 10^{-5} \text{ M}^{-1}\text{s}^{-1}$ at 50° in DMF. Alkylating phosphamides of $(\text{pA})_7$ and $(\text{pA})_8$ were shown to form the complexes with *E.coli* rRNA and DNA, in which nucleic acids were efficiently alkylated.
